

基于 Cosserat 理论的仿生鱼骨连续型机器人静力学分析

周 盼¹ 姚建涛^{1,2} 朱坤明¹ 张轩浩¹

(1. 燕山大学河北省并联机器人与机电系统实验室, 秦皇岛 066004;

2. 燕山大学先进锻压成形技术与科学教育部重点实验室, 秦皇岛 066004)

摘要: 连续型机器人具有良好的灵活性、柔顺性和人机安全性等优点, 受生物鱼骨结构启发, 提出了结构紧凑、质量轻、灵活性高的仿生鱼骨连续型机器人。但多节垂直交叉的刚柔软耦合结构模式使仿生鱼骨连续型机器人静力学的精确建模难度增加。本文基于 Cosserat 理论考虑了驱动绳索和弹性骨干的耦合作用对该机器人进行静力学分析, 建立了仿生鱼骨连续型骨干的 Cosserat – rod 模型和驱动绳索的 Cosserat – string 模型以及二者的耦合模型, 预测了一节仿生鱼骨单元以及垂直交叉串联布置的两节仿生鱼骨单元的变形规律。理论与实验结果相比, 理论值误差在 1.5 mm 之内, 为其长度的 1.2%。本文为绳索驱动的刚柔软耦合连续型机器人的静力学建模提供了理论参考。

关键词: 刚柔软耦合结构; 连续型机器人; 静力学; Cosserat 理论

中图分类号: TH122 文献标识码: A 文章编号: 1000-1298(2023)10-0432-09

OSID:



Statics Analysis of Bioinspired Fishbone Continuum Robot Based on Cosserat Theory

ZHOU Pan¹ YAO Jiantao^{1,2} ZHU Kunming¹ ZHANG Xuanhao¹

(1. Parallel Robot Mechatronic System Laboratory, Hebei Province, Yanshan University, Qinhuangdao 066004, China

2. Key Laboratory of Advanced Forging and Stamping Technology and Science, Ministry of Education, Yanshan University, Qinhuangdao 066004, China)

Abstract: Continuum robots have a broad application prospect in space operations, medical surgery, agricultural harvesting and other fields due to their advantages of good dexterity, flexibility, and human-machine safety. Inspired by biological fishbone structure, a bioinspired fishbone continuum robot was proposed, which had compact structure, light weight, and high flexibility. However, the cross-arranged rigid-flexible-soft coupling multi-section structure of the bioinspired fishbone continuum robot made its statics modeling more difficult. The statics analysis of the bioinspired fishbone continuum robot was carried out based on Cosserat theory considering the coupling of its driving cables and elastic backbone. A Cosserat – rod model for the bioinspired fishbone continuum backbone and a Cosserat – string model for its driving cable were established. Furthermore, the coupling model of the Cosserat – rod and Cosserat – string models was established, which can be used to successfully predict the deformation laws of one bioinspired fishbone unit and two cross-arranged fishbone units under different cable driving forces and different tip loads. Compared with the experimental results, it was proved that the errors of theoretical value were within 1.5 mm, which was 1.2% of its length. The research result can provide a configuration for rigid-flexible-soft continuum robots, as well as a theoretical reference for the statics modeling of cable-driven rigid-flexible-soft coupling continuum robots.

Key words: rigid-flexible-soft coupling structure; continuum robot; static analysis; Cosserat theory

收稿日期: 2023-02-07 修回日期: 2023-03-05

基金项目: 国家自然科学基金项目(U2037202, 51975505)和河北省科学技术研究与发展计划国际科技合作项目(19391825D)

作者简介: 周盼(1994—), 女, 博士生, 主要从事连续型机器人以及软体机器人研究, E-mail: 2332546406@qq.com

通信作者: 姚建涛(1980—), 男, 教授, 博士生导师, 主要从事软体机器人和六维力传感器研究, E-mail: jtyao@ysu.edu.cn

0 引言

农业生产的特点要求农业机器人具有适应非工作环境和抓取非合作目标能力。与传统刚性连杆机器人相比, 连续型机器人具有更好的灵活性、柔顺性和人机安全性, 在非结构化环境作业和非合作目标操作方面具有显著的性能优势, 可应用于农业生产^[1-2]、微创手术^[3-11]、核反应装置维修^[12]、搜索与救援^[13-14]和空间探测^[15-17]等领域。目前, 其结构主要包括单骨干^[1,2,6,8-10,18-22]、同心管^[7,23]和多骨干形式^[5,24-29]。驱动方式主要为气动人工肌肉^[14,24,30-33]、绳索驱动^[1,2,6,8-10,12,19,20]、杆驱动^[3,5,26-28]、电活性聚合物^[4,17,34-39]、形状记忆合金^[1,21,40-47]和磁驱动^[11,48-51]。其中, 绳索驱动的单骨干连续型机器人具有结构紧凑、驱动精度高以及负载能力较大等优点, 可应用于农业采摘、医疗检查、微创手术以及复杂腔体设备的检测^[1,2,8-10]。

单骨干连续型机器人的骨干结构与其建模难度、运动灵巧度、轻量性以及负载能力紧密相关。从中间骨干的结构形式出发, 与经典的周向分布一系列圆盘的圆形弹性体的结构形式不同, 提出了由多个刚柔耦合结构的仿生鱼骨单元垂直交叉串联而成的中间骨架构成的连续型机器人^[52]。该机器人结构紧凑、质量轻、灵活性高, 具有更精确的理论模型以及规则和可控的变形。前期进行了结构设计、样机制作、运动学分析以及应用演示。

基于常曲率假设的建模方法常用于分析连续型机器人没有外部载荷时的变形情况。对于连续型机器人被绳索驱动并且受到外部负载时, 应探索可变曲率连续型机器人模型来提高建模精度。目前, 基于近似的方法包括分段恒定曲率模型^[19,53-55]、Bézier 曲线拟合^[6]和伪刚体模型^[56]等。这些模型使用有限数量的变量近似模拟连续型机器人的形状, 以降低形状的维数。另外, GRAVAGNE 等^[57-59]为受平面内载荷的平面连续机器人的静力学和动力学提供了一个基于能量的综合模型。Cosserat 杆理论显示出具有作为描述连续体机器人变形的通用工具的潜力, 已用于预测肌腱驱动的连续机器人^[60]和预弯曲的同心管^[61]中心骨干的形状。本文不仅考虑连续型机器人与绳索连接点处力矩, 还考虑连接点力和绳索沿骨干长度对其施加的分布力和分布力矩, 以及外部负载和外部力矩, 对仿生鱼骨连续型机器人进行静力学分析。建立仿生鱼骨连续型机器人运动模块的 Cosserat-rod 模型与驱动绳索的 Cosserat-string 模型, 将两种模型进行耦合, 考虑刚性鱼骨片、柔性弹性片以及软绳索之间的耦合作用,

得到运动模块受到不同绳索驱动力和不同外部载荷时的变形。

1 仿生鱼骨单元的 Cosserat-rod 模型

为了描述仿生鱼骨连续型机器人在三维空间的变形, 首先基于 Cosserat 理论建立仿生鱼骨单元的运动学以及静力学模型, 然后用本构方程将运动学变量与力学参数相关联, 进而可得到仿生鱼骨单元在不同驱动力和不同尖端载荷下的弯曲变形。

1.1 仿生鱼骨单元运动学模型

仿生鱼骨单元由外侧布置有十字形薄板的纯软套内嵌弹性片组成^[52]。为了描述仿生鱼骨单元的 Cosserat-rod 模型, 把仿生鱼骨单元看作是均匀的片状结构, 如图 1 所示, 其上任意一点的位置可表示为

$$\mathbf{p}(s) = x(s)\mathbf{e}_1 + y(s)\mathbf{e}_2 + z(s)\mathbf{e}_3 \quad (1)$$

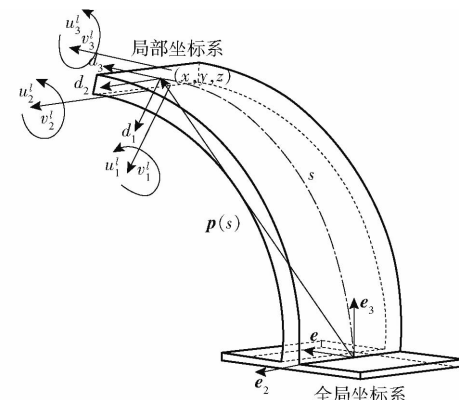


图 1 仿生鱼骨单元的空间位姿描述

Fig. 1 Spatial position and posture of bioinspired fishbone unit

定位的材料点 s 其方向由系在其上的正交单位向量 \mathbf{d}_2 和 \mathbf{d}_3 共同给出。 $\mathbf{d}_1 = \mathbf{d}_2 \mathbf{d}_3$ 垂直于横截面, 但由于剪切变形的影响 \mathbf{d}_1 不一定平行于中心曲线的切线。

引入旋转矩阵 $\mathbf{R}(s) \in SO(3)$, 则仿生鱼骨单元的位姿可以描述为

$$\mathbf{g}(s) = \begin{bmatrix} \mathbf{R}(s) & \mathbf{p}(s) \\ 0 & 1 \end{bmatrix} \quad (2)$$

以仿生鱼骨单元无限小的微元部段为研究对象, 本地坐标平移变化和方位变化描述为

$$\mathbf{v}^{(l)}(s) = v_1^{(l)}\mathbf{d}_1 + v_2^{(l)}\mathbf{d}_2 + v_3^{(l)}\mathbf{d}_3 \quad (3)$$

$$\mathbf{u}^{(l)}(s) = u_1^{(l)}\mathbf{d}_1 + u_2^{(l)}\mathbf{d}_2 + u_3^{(l)}\mathbf{d}_3 \quad (4)$$

其中, 上角标 l 表示在本地坐标进行描述。速度向量 $\mathbf{v}^{(l)}(s) = [v_1^{(l)} \quad v_2^{(l)} \quad v_3^{(l)}]^T$ 中 $v_2^{(l)}$ 和 $v_3^{(l)}$ 由剪切作用产生, $v_1^{(l)}$ 由拉压作用产生, 特别指出 $v_1^{(l)} = 1$ 表示既不伸长也不压缩, $v_1^{(l)} < 1$ 表示压缩, $v_1^{(l)} > 1$ 表示伸长。角速度向量中 $u_2^{(l)}$ 和 $u_3^{(l)}$ 指代弯曲作用, 扭转作用由 $u_1^{(l)}$ 给出, 取逆时针方向为正。

全局坐标下速度向量和角速度向量为

$$\boldsymbol{v}(s) = \boldsymbol{R}(s)\boldsymbol{v}^{(l)}(s) \quad (5)$$

$$\boldsymbol{u}(s) = \boldsymbol{R}(s)\boldsymbol{u}^{(l)}(s) \quad (6)$$

由速度和位移关系可得

$$\dot{\boldsymbol{p}}^{(l)}(s) = \boldsymbol{v}^{(l)}(s) \quad (7)$$

$$\dot{\boldsymbol{p}}(s) = \boldsymbol{R}(s)\boldsymbol{v}^{(l)}(s) \quad (8)$$

由于角速度可引起方位的改变, 可得

$$\dot{\boldsymbol{R}}(s) = \hat{\boldsymbol{u}}(s)\boldsymbol{R}(s) \quad (9)$$

$$\dot{\boldsymbol{R}}(s) = \boldsymbol{R}(s)\hat{\boldsymbol{u}}^{(l)}(s) \quad (10)$$

其中

$$\hat{\boldsymbol{u}}^{(l)} = \begin{bmatrix} 0 & -u_3^{(l)} & u_2^{(l)} \\ u_3^{(l)} & 0 & -u_1^{(l)} \\ -u_2^{(l)} & u_1^{(l)} & 0 \end{bmatrix}$$

$$\hat{\boldsymbol{u}}(s) = \begin{bmatrix} 0 & -u_3 & u_2 \\ u_3 & 0 & -u_1 \\ -u_2 & u_1 & 0 \end{bmatrix}$$

且定义仿生鱼骨单元变形前的位姿为 $\boldsymbol{g}^*(s)$, 相关运动学参数为 $\boldsymbol{R}^*(s)$ 、 $\boldsymbol{v}^*(s)$ 、 $\boldsymbol{u}^*(s)$ 、 $\boldsymbol{v}^{(l)*}(s)$ 和 $\boldsymbol{u}^{(l)*}(s)$ 。

1.2 仿生鱼骨单元静力学模型

选取仿生鱼骨单元点 c 与点 s 之间的 σ 段进行分析, 受力示意图如图 2 所示。 $\boldsymbol{n}(s)$ 表示仿生鱼骨单元的远端部段(从点 s 到其尾端)对 σ 段的力, $\boldsymbol{n}(c)$ 表示仿生鱼骨单元的近端部段对 σ 段的力(从初始端到点 c)。同理, 存在力矩 $\boldsymbol{m}(s)$ 和 $\boldsymbol{m}(c)$ 。 $\boldsymbol{f}(\sigma)$ 和 $\boldsymbol{l}(\sigma)$ 表示作用在点集 σ 上的分布力和分布力矩。则力/力矩平衡方程为

$$\boldsymbol{n}(s) - \boldsymbol{n}(c) + \int_c^s \boldsymbol{f}(\sigma) d\sigma = 0 \quad (11)$$

$$\boldsymbol{m}(s) - \boldsymbol{m}(c) + \boldsymbol{p}(s)\boldsymbol{n}(s) - \boldsymbol{p}(c)\boldsymbol{n}(c) + \int_c^s (\boldsymbol{p}(\sigma) \times \boldsymbol{f}(\sigma)) d\sigma + \int_c^s \boldsymbol{l}(\sigma) d\sigma = 0 \quad (12)$$

式(11)、(12)两边对 s 求导得

$$\dot{\boldsymbol{n}}(s) + \boldsymbol{f}(s) = 0 \quad (13)$$

$$\dot{\boldsymbol{m}}(s) + \dot{\boldsymbol{p}}(s) \times \boldsymbol{n}(s) + \boldsymbol{l}(s) = 0 \quad (14)$$

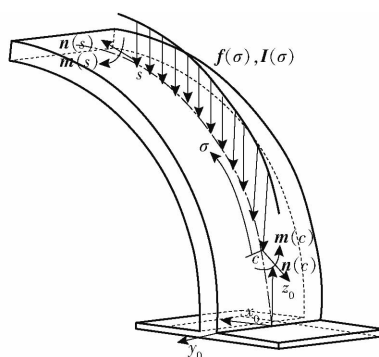


图 2 仿生鱼骨单元的受力示意图

Fig. 2 Force diagram of bioinspired fishbone unit

1.3 运动学变量与力学参数映射规律

建立仿生鱼骨单元运动学变量与力学参数的映射规律, 能有效地描述仿生鱼骨单元受到力和力矩作用后的变形情况。在局部坐标系下由剪切力产生的位移变化在 \boldsymbol{d}_2 方向与 $v_2^{(l)} - v_2^{(l)*}$ 相关, 在 \boldsymbol{d}_3 方向与 $v_3^{(l)} - v_3^{(l)*}$ 相关, 由拉压力作用产生的位移变化在 \boldsymbol{d}_1 方向与 $v_1^{(l)} - v_1^{(l)*}$ 相关。同理, 绕 \boldsymbol{d}_2 、 \boldsymbol{d}_3 的弯曲量与 $u_2^{(l)} - u_2^{(l)*}$ 和 $u_3^{(l)} - u_3^{(l)*}$ 相关, 关于 \boldsymbol{d}_1 的扭转变量与 $u_1^{(l)} - u_1^{(l)*}$ 相关。运动学变量与力学参数呈线性映射规律, 可表示为

$$\boldsymbol{n}(s) = \boldsymbol{R}(s)\boldsymbol{K}_{se}(s)(\boldsymbol{v}^{(l)}(s) - \boldsymbol{v}^{(l)*}(s)) \quad (15)$$

$$\boldsymbol{m}(s) = \boldsymbol{R}(s)\boldsymbol{K}_{bt}(s)(\boldsymbol{u}^{(l)}(s) - \boldsymbol{u}^{(l)*}(s)) \quad (16)$$

其中 $\boldsymbol{K}_{se}(s) = \text{diag}(k_{e1}, k_{s1}, k_{s2})$

$$\boldsymbol{K}_{bt} = \text{diag}(k_{t1} \ k_{b1} \ k_{b2}) \quad k_{e1} = EA_T$$

$$k_{s1} = k_{s2} = GA_T \quad k_{t1} = GJ$$

$$k_{b1} = EI_1 \quad k_{b2} = EI_2$$

式中 \boldsymbol{K}_{se} —— 剪切和拉伸刚度矩阵

\boldsymbol{K}_{bt} —— 弯曲和扭转刚度矩阵

1.4 等式构建与变换

将式(15)代入式(13)得

$$\partial_s(\boldsymbol{R}(s)\boldsymbol{K}_{se}(s)(\boldsymbol{v}^{(l)}(s) - \boldsymbol{v}^{(l)*}(s))) + \boldsymbol{f}(s) = 0 \quad (17)$$

通过求解得

$$\dot{\boldsymbol{v}}^{(l)} = \boldsymbol{K}_{se}^{-1}[-\boldsymbol{R}^T \boldsymbol{f} - \hat{\boldsymbol{u}}^{(l)} \boldsymbol{K}_{se}(\boldsymbol{v}^{(l)} - \boldsymbol{v}^{(l)*})] \quad (18)$$

将式(8)、(15)、(16)代入式(14)得

$$\partial_s(\boldsymbol{R}\boldsymbol{K}_{bt}(\boldsymbol{u}^{(l)} - \boldsymbol{u}^{(l)*})) + \boldsymbol{R}\boldsymbol{v}^{(l)} \times \boldsymbol{R}\boldsymbol{K}_{se}(\boldsymbol{v}^{(l)} - \boldsymbol{v}^{(l)*}) + \boldsymbol{I} = 0 \quad (19)$$

通过求解得

$$\dot{\boldsymbol{u}}^{(l)} = -\boldsymbol{K}_{bt}^{-1}[\hat{\boldsymbol{u}}^{(l)} \boldsymbol{K}_{bt}(\boldsymbol{u}^{(l)} - \boldsymbol{u}^{(l)*}) + \boldsymbol{v}^{(l)} \boldsymbol{K}_{se}(\boldsymbol{v}^{(l)} - \boldsymbol{v}^{(l)*}) + \boldsymbol{R}^T \boldsymbol{I}] \quad (20)$$

2 驱动绳索 Cosserat-string 模型

驱动绳索 Cosserat-string 模型的建立基于以下两个假设: 假设绳索与机器人上的绳索导向孔之间为无摩擦接触。假设绳索位于绳索导向孔中间位置并保持不变。

作用在仿生鱼骨单元上的分布力 \boldsymbol{f} 和分布力矩 \boldsymbol{l} 可分为由真正的外部载荷引起的分布力 \boldsymbol{f}_a 和分布力矩 \boldsymbol{l}_a 以及由绳索约束所引起的分布力 \boldsymbol{f}_b 和分布力矩 \boldsymbol{l}_b , 则

$$\boldsymbol{f} = \boldsymbol{f}_a + \boldsymbol{f}_b \quad (21)$$

$$\boldsymbol{l} = \boldsymbol{l}_a + \boldsymbol{l}_b \quad (22)$$

为了推导 \boldsymbol{f}_b 和 \boldsymbol{l}_b , 首先建立驱动绳索的运动学模型。

2.1 驱动绳索运动学模型

如图 3 所示, 绳索穿过仿生鱼骨单元的十字形

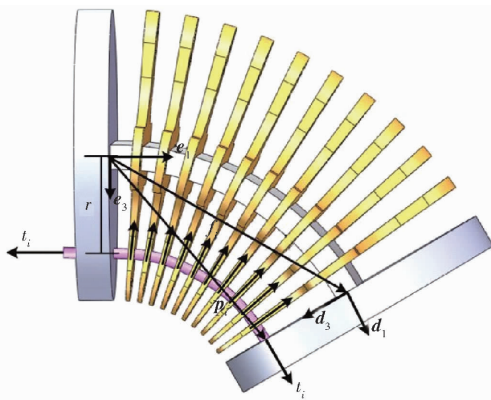


图 3 仿生鱼骨单元驱动绳的受力示意图

Fig. 3 Force diagram of driving cable of bioinspired fishbone unit

薄板上的导线孔, 沿着机器人长度方向布置。通过描述导线孔的位置即可定义绳索的路径。可知第 i 个驱动绳的导向孔在局部坐标系下位置可表示为

$$\mathbf{r}_i = [0 \ 0 \ r]^T \quad (23)$$

进一步, 可得到仿生鱼骨单元未变形时, 第 i 个驱动绳的导向孔在全局坐标系下的位置为

$$\mathbf{p}_i^* = \mathbf{R}^* \mathbf{r}_i + \mathbf{p}^* \quad (24)$$

则仿生鱼骨单元在驱动绳索的作用下产生变形时, 第 i 个驱动绳的导向孔在全局坐标系下的位置为

$$\mathbf{p}_i = \mathbf{R} \mathbf{r}_i + \mathbf{p} \quad (25)$$

2.2 驱动绳索静力学模型

参考式(13), 可得驱动绳索的内力导数公式为

$$\dot{\mathbf{n}}_i(s) + \mathbf{f}_i(s) = \mathbf{0} \quad (26)$$

式中 $\mathbf{f}_i(s)$ —— 鱼骨单元在第 i 个绳索上的分布力

$\mathbf{n}_i(s)$ —— 驱动绳索内力

$\mathbf{0}$ —— 零矩阵

绳索只能承受张力, 用 $t_i(s)$ 来表示, 其内力方向始终平行于绳子曲线 $\mathbf{p}_i(s)$ 处的切线, 则得

$$\mathbf{n}_i(s) = t_i(s) \frac{\dot{\mathbf{p}}_i(s)}{\|\dot{\mathbf{p}}_i(s)\|} \quad (27)$$

其中由于模型建立基于无摩擦接触假设, $t_i(s)$ 在沿绳方向上大小不变。

将式(27)代入式(26), 整理可得作用在绳索上的分布力为

$$\mathbf{f}_i(s) = -\dot{\mathbf{n}}_i = t_i \frac{(\hat{\dot{\mathbf{p}}}_i)^2}{\|\dot{\mathbf{p}}_i\|} \ddot{\mathbf{p}}_i \quad (28)$$

3 仿生鱼骨单元与驱动绳索耦合模型

3.1 耦合模型隐式表达

根据推导的绳索上的分布力, 可得驱动绳索作用在仿生鱼骨单元上的分布力 \mathbf{f}_b 和分布力矩 \mathbf{I}_b 。首先根据式(28), 可得

$$\mathbf{f}_b = - \sum_{i=1}^n \mathbf{f}_i \quad (29)$$

驱动绳索作用在仿生鱼骨单元主干形心处的分布力矩是每个力臂与每个分布力的交叉乘积之和。因此

$$\mathbf{I}_b = - \sum_{i=1}^n (\mathbf{p}_i - \mathbf{p}) \mathbf{f}_i \quad (30)$$

如图 3 所示, 在本样机中, 仿生鱼骨单元的主干与绳索同步弯曲, $\mathbf{p}_i - \mathbf{p}$ 与 \mathbf{f}_i 的方向平行, 所以 $\mathbf{I}_b = 0$ 。

将式(28)代入式(29)可得

$$\mathbf{f}_b = - \sum_{i=1}^n t_i \frac{(\hat{\dot{\mathbf{p}}}_i)^2}{\|\dot{\mathbf{p}}_i\|^3} \ddot{\mathbf{p}}_i \quad (31)$$

为了用运动单元的运动学变量 $\mathbf{v}^{(l)}$ 、 $\mathbf{u}^{(l)}$ 、 \mathbf{R} 和 \mathbf{p} 来表示分布力 \mathbf{f}_b 和分布力矩 \mathbf{I}_b , 将式(28)两边对 s 进行求导得到

$$\dot{\mathbf{p}}_i = \mathbf{R}(\hat{\mathbf{u}}^{(l)} \mathbf{r}_i + \mathbf{v}^{(l)}) \quad (32)$$

$$\ddot{\mathbf{p}}_i = \mathbf{R}[\hat{\mathbf{u}}^{(l)}(\hat{\mathbf{u}}^{(l)} \mathbf{r}_i + \mathbf{v}^{(l)}) + \hat{\dot{\mathbf{u}}}^{(l)} \mathbf{r}_i + \dot{\mathbf{v}}^{(l)}] \quad (33)$$

将式(32)、(33)代入式(31), 然后将结果经过式(21)代入式(18), 并将 $\mathbf{I}_b = 0$ 经式(22)代入式(20), 即可得一组隐式微分方程来表示仿生鱼骨单元与驱动绳索的耦合模型。

3.2 耦合模型显式表达

为了得到仿生鱼骨单元与驱动绳索的耦合模型的显式表达, 将式(32)、(33)写成局部坐标下的形式, 则得到

$$\dot{\mathbf{p}}_i^{(l)} = \hat{\mathbf{u}}^{(l)} \mathbf{r}_i + \mathbf{v}^{(l)} \quad (34)$$

$$\ddot{\mathbf{p}}_i^{(l)} = \hat{\mathbf{u}}^{(l)} \dot{\mathbf{p}}_i^{(l)} + \hat{\dot{\mathbf{u}}}^{(l)} \mathbf{r}_i + \dot{\mathbf{v}}^{(l)} \quad (35)$$

根据式(31) \mathbf{f}_b 可以表示为

$$\mathbf{f}_b = \mathbf{R}(\mathbf{d} + \mathbf{D} \dot{\mathbf{v}} + \mathbf{E} \dot{\mathbf{u}}) \quad (36)$$

其中

$$\mathbf{D}_i = -t_i \frac{(\hat{\dot{\mathbf{p}}}_i^{(l)})^2}{\|\dot{\mathbf{p}}_i^{(l)}\|^3} \quad \mathbf{D} = \sum_{i=1}^n \mathbf{D}_i$$

$$\mathbf{E} = - \sum_{i=1}^n \mathbf{D}_i \hat{\mathbf{r}}_i \quad \mathbf{d}_i = \mathbf{D}_i \hat{\mathbf{u}}^{(l)} \dot{\mathbf{p}}_i^{(l)}$$

$$\mathbf{d} = \sum_{i=1}^n \mathbf{d}_i$$

将式(36)和 $\mathbf{I}_b = 0$ 代入式(18)、(20), 并对其进行整理得到

$$(\mathbf{k}_{se} + \mathbf{D}) \dot{\mathbf{v}} + \mathbf{E} \dot{\mathbf{u}} = \mathbf{a} \quad (37)$$

$$\mathbf{k}_{bt} \dot{\mathbf{u}} = \mathbf{b} \quad (38)$$

$$\mathbf{a} = \mathbf{K}_{se} \dot{\mathbf{v}}^{(l)*} - \hat{\mathbf{u}}^{(l)} \mathbf{K}_{se} (\mathbf{v}^{(l)} - \mathbf{v}^{(l)*}) - \mathbf{R}^T \mathbf{f}_a - \mathbf{d} \quad (39)$$

$$\mathbf{b} = \mathbf{K}_{bt} \dot{\mathbf{u}}^{(l)*} - \hat{\mathbf{u}}^{(l)} \mathbf{K}_{bt} (\mathbf{u}^{(l)} - \mathbf{u}^{(l)*}) - \hat{\mathbf{v}}^{(l)} \mathbf{K}_{se} (\mathbf{v}^{(l)} - \mathbf{v}^{(l)*}) - \mathbf{R}^T \mathbf{I}_a \quad (40)$$

进而仿生鱼骨单元与驱动绳索的耦合模型的显式表达为

$$\begin{aligned}\dot{\mathbf{p}} &= \mathbf{R} \mathbf{v}^{(l)} \\ \dot{\mathbf{R}} &= \mathbf{R} \hat{\mathbf{u}}^{(l)} \\ \begin{bmatrix} \dot{\mathbf{v}}^{(l)} \\ \dot{\mathbf{u}}^{(l)} \end{bmatrix} &= \begin{bmatrix} \mathbf{K}_{se} + \mathbf{D} & \mathbf{E} \\ \mathbf{O} & \mathbf{K} \end{bmatrix} \begin{bmatrix} \mathbf{a} \\ \mathbf{b} \end{bmatrix}\end{aligned}\quad (41)$$

4 运动模块静力学分析

运动模块由两级仿生鱼骨单元垂直交叉串联而成,在布置时第一级仿生鱼骨单元执行左右弯曲以减少由其重量引起的自身结构的变形,对两级仿生鱼骨单元进行分步分析。

4.1 第1级仿生鱼骨单元静力学分析

首先对第1级仿生鱼骨单元进行分析。全局坐标系和局部坐标系的建立如图4所示。基于以上对仿生鱼骨单元的分析,很容易得到

$$\mathbf{p}_1(s) = x_1(s)\mathbf{e}_1 + y_1(s)\mathbf{e}_2 + z_1(s)\mathbf{e}_3 \quad (42)$$

$$\dot{\mathbf{p}}_1(s) = \mathbf{R}_1(s)\mathbf{v}_1^{(l)}(s) \quad (43)$$

$$\dot{\mathbf{R}}_1(s) = \mathbf{R}_1(s)\hat{\mathbf{u}}_1^{(l)}(s) \quad (44)$$

$$\begin{bmatrix} \dot{\mathbf{v}}_1^{(l)} \\ \dot{\mathbf{u}}_1^{(l)} \end{bmatrix} = \begin{bmatrix} \mathbf{K}_{sel} + \mathbf{D}_1 & \mathbf{E}_1 \\ \mathbf{O} & \mathbf{K}_{bt1} \end{bmatrix} \begin{bmatrix} \mathbf{a}_1 \\ \mathbf{b}_1 \end{bmatrix} \quad (45)$$

其中, $\mathbf{v}_1^{(l)} = [v_{11}^{(l)} \ v_{12}^{(l)} \ v_{13}^{(l)}]^T$, $\mathbf{u}_1^{(l)} = [u_{11}^{(l)} \ u_{12}^{(l)}$

$u_{13}^{(l)}]^T$ 。由于仿生鱼骨单元被看作既没有被压缩也没有被伸长,故 $\mathbf{v}_1^{(l)*} = [1 \ 0 \ 0]^T$, $\mathbf{u}_1^{(l)*} = [0 \ 0 \ 0]^T$, $\mathbf{K}_{sel}(s) = \text{diag}([k_{e11} \ k_{s11} \ k_{s12}])$, $\mathbf{K}_{bt1}(s) = \text{diag}([k_{t11} \ k_{b11} \ k_{b12}])$, $k_{e11} = EA_T$, $k_{s11} = k_{s12} = GA_T$,

$k_{t11} = GJ_1$, $k_{b11} = EI_{11}$, $k_{b12} = EI_{12}$, $\mathbf{D}_{1i} = -t_{1i} \frac{(\hat{\mathbf{p}}_{1i}^{(l)})^2}{\|\hat{\mathbf{p}}_{1i}^{(l)}\|^3}$,

$\mathbf{D}_1 = \sum_{i=1}^n \mathbf{D}_{1i}$, $\mathbf{E}_1 = -\sum_{i=1}^n \mathbf{D}_{1i} \hat{\mathbf{r}}_{1i}$, $\mathbf{d}_{1i} = \mathbf{D}_{1i} \hat{\mathbf{u}}_1^{(l)} \dot{\mathbf{p}}_{1i}^{(l)}$,

$\mathbf{d}_1 = \sum_{i=1}^n \mathbf{d}_{1i}$, $\dot{\mathbf{p}}_{1i}^{(l)} = \hat{\mathbf{u}}_1^{(l)} \mathbf{r}_{1i} + \mathbf{v}_1^{(l)}$, $\mathbf{r}_{1i} = [0 \ 0 \ r]^T$, t_{1i}

为第1级仿生鱼骨单元尖端所受绳子的拉力, $f_{a1} = \rho AgS_e$, ρ 为仿生鱼骨单元弯曲部分每单位长度的质量, A 为其横截面积, S_1 为第2级仿生鱼骨单元弯曲部分的长度, $\mathbf{e}_g = [0 \ -1 \ 0]^T$, $\mathbf{I}_{a1} = \mathbf{0}$, $\mathbf{a}_1 = \mathbf{K}_{sel} \dot{\mathbf{v}}_1^{(l)*} - \hat{\mathbf{u}}_1^{(l)} \mathbf{K}_{sel} (\mathbf{v}_1^{(l)} - \mathbf{v}_1^{(l)*}) - \mathbf{R}_1^T \mathbf{f}_{a1} - \mathbf{d}_1$, $\mathbf{b}_1 = \mathbf{K}_{bt1} \dot{\mathbf{u}}_1^{(l)*} - \hat{\mathbf{u}}_1^{(l)} \mathbf{K}_{bt1} (\mathbf{u}_1^{(l)} - \mathbf{u}_1^{(l)*}) - \hat{\mathbf{v}}_1^{(l)} \mathbf{K}_{sel} (\mathbf{v}_1^{(l)} - \mathbf{v}_1^{(l)*}) - \mathbf{R}_1^T \mathbf{I}_{a1}$ 。

第1级弯曲单元尖端的位置 \mathbf{O}_2 为

$$\mathbf{O}_2 = \mathbf{T}_1(S_1) \mathbf{D}_1 \quad (46)$$

其中

$$\mathbf{T}_1(S_1) = \begin{bmatrix} \mathbf{R}_1(S_1) & \mathbf{p}_1(S_1) \\ \mathbf{0} & 1 \end{bmatrix}$$

$$\mathbf{D}_1 = [d_1 \ 0 \ 0 \ 1]^T$$

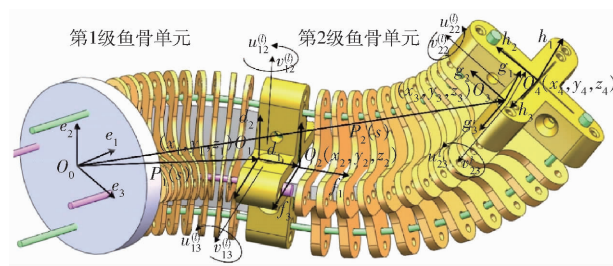


图4 运动模块的空间位姿描述

Fig. 4 Spatial position and posture of motion module

式中 d_1 ——第1级弯曲单元尖端连接件厚度

如图4所示,第1级仿生鱼骨单元静力学分析的边界条件为

$$\mathbf{p}_1(0) = [0 \ 0 \ 0]^T \quad (47)$$

$$\mathbf{R}_1(0) = \begin{bmatrix} 1 & 0 & 0 \\ 0 & 1 & 0 \\ 0 & 0 & 1 \end{bmatrix} \quad (48)$$

$$\mathbf{n}_1(S_1) = \mathbf{N}_1(S_1) \quad (49)$$

$$\mathbf{m}_1(S_1) = \mathbf{M}_1(S_1) \quad (50)$$

$\mathbf{N}_1(S_1)$ 为第1级仿生鱼骨单元尖端所受的力,包括两项:一项是其末端所受的绳索的拉力,记为 \mathbf{F}_1 ;另1项为其尖端连接件与第2级仿生鱼骨单元以及其尖端负载的重力和,记为 \mathbf{G}_1 。 $\mathbf{M}_1(S_1)$ 为第1级仿生鱼骨单元的末端所受力矩。

4.2 第2级仿生鱼骨单元静力学分析

对运动模块的第2级仿生鱼骨单元进行分析,可得

$$\mathbf{p}_2(s) = x_3(s)\mathbf{e}_1 + y_3(s)\mathbf{e}_2 + z_3(s)\mathbf{e}_3 \quad (51)$$

$$\dot{\mathbf{p}}_2(s) = \mathbf{R}_2(s)\mathbf{v}_2^{(l)}(s) \quad (52)$$

$$\dot{\mathbf{R}}_2(s) = \mathbf{R}_2(s)\hat{\mathbf{u}}_2^{(l)}(s) \quad (53)$$

$$\begin{bmatrix} \dot{\mathbf{v}}_2^{(l)} \\ \dot{\mathbf{u}}_2^{(l)} \end{bmatrix} = \begin{bmatrix} \mathbf{K}_{se2} + \mathbf{D}_2 & \mathbf{E}_2 \\ \mathbf{0} & \mathbf{K}_{bt2} \end{bmatrix} \begin{bmatrix} \mathbf{a}_2 \\ \mathbf{b}_2 \end{bmatrix} \quad (54)$$

其中

$$\mathbf{v}_2^{(l)} = [v_{21}^{(l)} \ v_{22}^{(l)} \ v_{23}^{(l)}]^T$$

$$\mathbf{u}_2^{(l)} = [u_{21}^{(l)} \ u_{22}^{(l)} \ u_{23}^{(l)}]^T$$

$$\mathbf{v}_2^{(l)*} = [1 \ 0 \ 0]^T \quad \mathbf{u}_2^{(l)*} = [0 \ 0 \ 0]^T$$

$$\mathbf{K}_{se2}(s) = \text{diag}([k_{e21} \ k_{s21} \ k_{s22}])$$

$$\mathbf{K}_{bt2}(s) = \text{diag}([k_{t21} \ k_{b21} \ k_{b22}])$$

$$k_{e21} = EA_T \quad k_{s21} = k_{s22} = GA_T$$

$$k_{t21} = GJ_2 \quad k_{b21} = EI_{21} \quad k_{b22} = EI_{22}$$

$$\mathbf{D}_2 = \sum_{i=1}^n \mathbf{D}_{2i} \quad \mathbf{E}_2 = -\sum_{i=1}^n \mathbf{D}_{2i} \hat{\mathbf{r}}_{2i}$$

$$\mathbf{d}_{2i} = \mathbf{D}_{2i} \hat{\mathbf{u}}_2^{(l)} \dot{\mathbf{p}}_{2i}^{(l)} \quad \mathbf{d}_2 = \sum_{i=1}^n \mathbf{d}_{2i}$$

$$\mathbf{a}_2 = \mathbf{K}_{se2} \dot{\mathbf{v}}_2^{(l)*} - \hat{\mathbf{u}}_2^{(l)} \mathbf{K}_{se2} (\mathbf{v}_2^{(l)} - \mathbf{v}_2^{(l)*}) - \mathbf{R}_2^T \mathbf{f}_{a2} - \mathbf{d}_2$$

$$\mathbf{b}_2 = \mathbf{K}_{bt2} \dot{\mathbf{u}}_2^{(l)*} - \hat{\mathbf{u}}_2^{(l)} \mathbf{K}_{bt2} (\mathbf{u}_2^{(l)} - \mathbf{u}_2^{(l)*}) -$$

$$\hat{\mathbf{v}}_2^{(l)} \mathbf{K}_{se2} (\mathbf{v}_2^{(l)} - \mathbf{v}_2^{(l)*}) - \mathbf{R}_2^T \mathbf{I}_{a2}$$

$$\dot{\mathbf{p}}_{2i}^{(I)} = \hat{\mathbf{u}}_2^{(I)} \mathbf{r}_{2i} + \mathbf{v}_2^{(I)} \quad \mathbf{r}_{2i} = [0 \quad r \quad 0]^T$$

$$\mathbf{f}_{a2} = \rho A g S_2 \mathbf{e}_x \quad \mathbf{I}_{a2} = \mathbf{O}$$

式中 t_{2i} —— 第 2 级鱼骨单元尖端所受绳子拉力

S_2 —— 第 2 级鱼骨单元弯曲部分的长度

运动模块尖端位置为

$$\mathbf{O}_4 = \mathbf{T}_2(S_2) \mathbf{D}_2 \quad (55)$$

其中

$$\mathbf{T}_2(S_2) = \begin{bmatrix} \mathbf{R}_2(S_2) & \mathbf{p}_2(S_2) \\ 0 & 1 \end{bmatrix}$$

$$\mathbf{D}_2 = [d_2 \quad 0 \quad 0 \quad 1]^T$$

式中 d_2 —— 第 2 级弯曲单元尖端连接件厚度

如图 4 所示, 第 2 级仿生鱼骨单元静力学分析的边界条件为

$$\mathbf{p}_2(0) = [x_2 \quad y_2 \quad z_2]^T \quad (56)$$

$$\mathbf{R}_2(0) = \mathbf{R}_1(S_1) \quad (57)$$

$$\mathbf{n}_2(S_2) = \mathbf{N}_2(S_2) \quad (58)$$

$$\mathbf{m}_2(S_2) = \mathbf{M}_2(S_2) \quad (59)$$

式中 $\mathbf{N}_2(S_2)$ —— 第 2 级仿生鱼骨单元尖端所受的力, 包括两项, 一项是其末端所受的绳索拉力, 记为 \mathbf{F}_2 ; 另一项为其尖端连接件与第 2 级仿生鱼骨单元重力和, 记为 \mathbf{G}_2

$\mathbf{M}_2(S_2)$ —— 第 2 级鱼骨单元末端所受力矩

5 连续体机器人静力学模型实验验证

如图 5a 所示, 仿生鱼骨单元外侧为布置有十字形薄板的纯软套, 内侧嵌有柔性弹性片。内嵌弹性片的材料为 65Mn, 弹性模量 $E = 210$ GPa, 泊松比 $\nu = 0.3$, 剪切模量 $G = E/(1 + \nu)$, 鱼骨单元弯曲部分的长度 $S_1 = S_2 = 50$ mm, 宽 b 和厚度 h 分别为 23 mm 和 0.3 mm。横截面 $A_t = bh = 6.9$ mm², 截面二次轴矩 $I_{11} = 304.175$ mm⁴, $I_{12} = 0.05175$ mm⁴, 极惯性矩 $J_1 = 304.22675$ mm⁴, 截面二次轴矩 $I_{21} = 0.05175$ mm⁴, $I_{22} = 304.175$ mm⁴, 极惯性矩 $J_2 = 304.22675$ mm⁴。

实验过程中, 将仿生鱼骨单元水平放置, 依次在其尖端挂 50、150、250、350、450、550 g 砝码, 其尖端连接件质量为 15.46 g, 通过两组装有激光定位器的可移动电子尺模块来记录其弯曲形状, 如图 6 所示。与理论模型所得到的弯曲形状进行比较, 如图 7 所示。实验数据沿着整个机器人长度接近模型预测, 并且误差沿着机器人长度逐渐增加, 因此机器人尖端误差可以用来衡量模型精确度。计算式为

$$\Delta = \sqrt{(\mathbf{p}_{el}(s) - \mathbf{p}_{cl}(s))^T (\mathbf{p}_{el}(s) - \mathbf{p}_{cl}(s))} \quad (60)$$

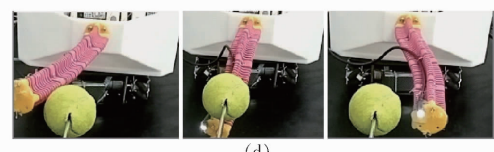
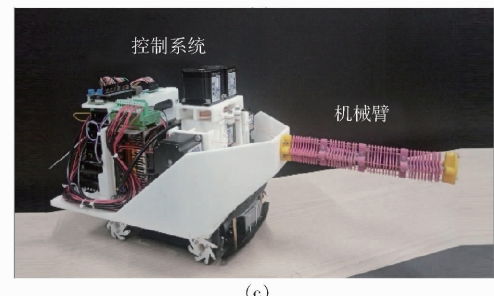
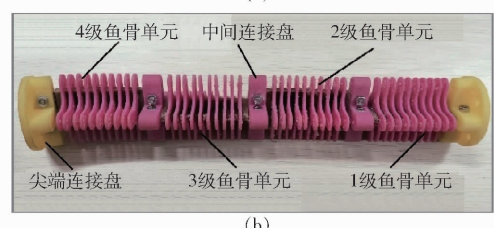
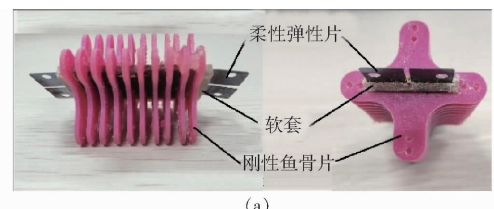


图 5 仿生鱼骨连续型机器人样机以及操作实验

Fig. 5 Prototype and operation experiment of bioinspired fishbone continuum robot

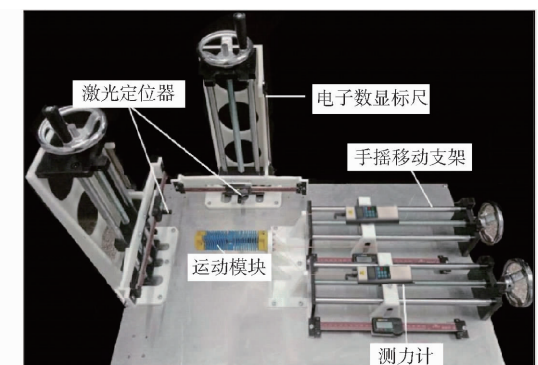


图 6 运动模块的测量装置

Fig. 6 Measuring device of motion module

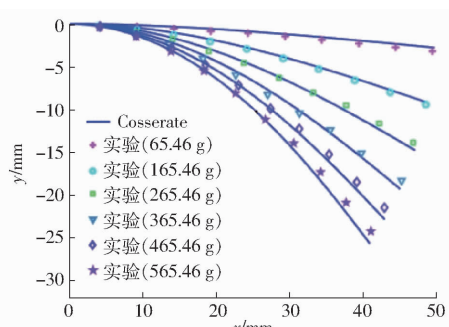


图 7 一节仿生鱼骨单元弯曲曲线实验值与理论值对比

Fig. 7 Experimental and theoretical comparison of bending curves of bioinspired fishbone unit

式中 $p_{ti}(s)$ ——第 1 节仿生鱼骨单元弯曲曲线 s 处的理论位置坐标

$p_{ei}(s)$ ——第 1 节仿生鱼骨单元弯曲曲线 s 处的实验位置坐标

通过长度方向的误差对比可得,随着仿生鱼骨单元尖端的负载增加,理论模型结果的误差也随之增加,最大误差为 1.07 mm。可得单节仿生鱼骨单元的形状模型精度较高,在尖端负载为 565.46 g 时,误差为仿生鱼骨单元总长度的 2.13%。

在实验过程中,在对第 1 级仿生鱼骨单元一侧驱动绳索依次施加 5、10 N 的拉力情况下,对第 2 级仿生鱼骨单元的一侧驱动绳索依次施加 3、6、9 N 的拉力,其尖端连接盘的质量为 15.46 g,然后用如图 6 所示的装置来记录运动模块的弯曲曲线,并与理论模型结果进行对比,如图 8 所示。可以看出,运动模块的变形曲线理论与实验结果一致性也很高。随着驱动绳索的驱动力的增加,理论值误差也随之增加。第 2 级仿生鱼骨单元的预测变形误差需大于第 1 级仿生鱼骨单元的预测变形误差。原因是由于在第 2 级仿生鱼骨单元的变形分析中,起始坐标为第 1 级仿生鱼骨单元的尖端预测坐标,与实际位置坐标存在着误差,故导致第 2 级仿生鱼骨单元的预测变形误差增加。最大误差为 1.5 mm,为运动模块总长度的 1.2%。

如图 5b、5c 所示,仿生鱼骨连续型机器人由控制系统与机械臂组成,而机械臂由 2 个运动模块垂直交叉串联而成。将机器人安装于移动小车上可扩大其运动空间。该机器人具有良好的灵活性,如图 5d 所示,其可以灵活地完成绕球运动。

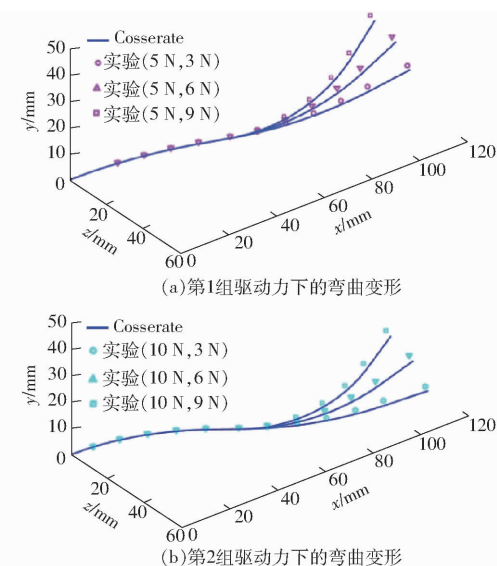


图 8 运动模块的弯曲曲线实验值与理论值对比

Fig. 8 Experimental and theoretical comparison of bending curves of motion module

6 结束语

基于 Cosserat 理论对刚柔耦合结构的仿生鱼骨连续型机器人进行了静力学建模。所建立的理论模型考虑了连续型机器人的刚性鱼骨片、柔性弹性片、与软绳索之间的耦合作用和自身重力,得到了机器人在绳索的拉力,绳索对仿生鱼骨单元骨干作用的分布力和分布力矩,以及外部负载和力矩作用下的变形。并且实验证了所建立模型的准确性。模型误差随着鱼骨单元变形变大而增加,随着仿生鱼骨单元的节数的增加,模型的预测误差也随之增加。两节垂直交叉布置的鱼骨单元串联而成的运动模块的尖端坐标的预测误差,最大为 1.5 mm,为运动模块总长度的 1.2%。

参 考 文 献

- [1] 齐飞,张恒,裴海珊,等.基于力传递模型的连续体机器人驱动误差补偿研究[J].农业机械学报,2023,54(1):402–411.
QI Fei, ZHANG Heng, PEI Haishan, et al. Drive error compensation of continuum manipulator based on force transfer model [J]. Transactions of the Chinese Society for Agricultural Machinery, 2023, 54(1): 402 – 411. (in Chinese)
- [2] 齐飞,余世刚,高书苑,等.考虑非线性摩擦的绳驱动连续体机器人动力学研究[J].农业机械学报,2021,52(4):375–383.
QI Fei, SHE Shigang, GAO Shuyuan, et al. Dynamic of cable-driven continuum robot with nonlinear friction model [J]. Transactions of the Chinese Society for Agricultural Machinery, 2021, 52(4): 375 – 383. (in Chinese)
- [3] XU K, ZHAO J, FU M. Development of the SJTU unfoldable robotic system (SURS) for single port laparoscopy [J]. IEEE/ASME Transactions on Mechatronics, 2015, 20(5):2133 – 2145.
- [4] ZHU J, LYU L, XU Y, et al. Intelligent soft surgical robots for next-generation minimally invasive surgery [J]. Advanced Intelligent Systems, 2021, 3(5):2100011.
- [5] WANG L, SIMAAM N. Geometric calibration of continuum robots: joint space and equilibrium shape deviations [J]. IEEE Trans. Robot., 2019, 35(2):387 – 402.
- [6] YUAN H, CHIU P W Y, LI Z. Shape-reconstruction-based force sensing method for continuum surgical robots with large deformation [J]. IEEE Robot. Autom. Lett., 2017, 2(4):1972 – 1979.
- [7] DUPONT P E, LOCK J, ITKOWITZ B, et al. Design and control of concentric-tube robots [J]. IEEE Trans. Robot., 2010, 26(2):209 – 225.
- [8] KATO T, OKUMURA I, SONH S E, et al. Tendon-driven continuum robot for endoscopic surgery: preclinical development and

- validation of a tension propagation model [J]. *IEEE/ASME Trans. Mechatron.*, 2015, 20(5):2252–2263.
- [9] BURGNER-KAHRS J, RUCKE D C, CHOSET H. Continuum robots for medical applications: a survey [J]. *IEEE Trans. Robot.*, 2015, 31(6):1261–1280.
- [10] 吉爱红, 刘荣兴, 陈辉, 等. 多关节连续体机器人的运动分析与遥操作技术[J]. 中国机械工程, 2021, 32(23):2883–2889.
JI Aihong, LIU Rongxing, CHEN Hui, et al. Motion analysis and teleoperation technology of multi-joint continuous robot [J]. *China Mechanical Engineering*, 2021, 32(23):2883–2889. (in Chinese)
- [11] KIM Y, PARADA G A, LIU S, et al. Ferromagnetic soft continuum robots [J]. *Sci. Robot.*, 2019, 4(33):7329.
- [12] BUCKINGHAM R, GRAHAM A. Nuclear snake-arm robots [J]. *Ind. Robot Int. J.*, 2012, 39(1):6–11.
- [13] TSUKAGOSHI H, KITAGAWA A, SEGAWA M. Active hose: an artificial elephant's nose with maneuverability for rescue operation [C] // Proceedings of IEEE International Conference on Robotics and Automation, 2001.
- [14] POLYGERINOS P, CORRELL N, MORIN S A, et al. Soft robotics: review of fluid-driven intrinsically soft devices; manufacturing, sensing, control, and applications in human-robot interaction: review of fluid-driven intrinsically soft robots [J]. *Adv. Eng. Mater.*, 2017, 19(5):e201700016.
- [15] TONAPI M M, GODAGE I S, WALKER I D. Next generation rope-like robot for in-space inspection [C] // Proceedings of IEEE Aerospace Conference, 2014.
- [16] WALKER I D. Robot strings: long, thin continuum robots [C] // Proceedings of IEEE Aerospace Conference, 2013.
- [17] GUO Y, GUO J, LIU L, et al. Bioinspired multimodal soft robot driven by a single dielectric elastomer actuator and two flexible electroadhesive feet [J]. *Extreme Mechanics Letters*, 2022, 53:101720.
- [18] MCMAHAN W, JONES B A, WALKER I D. Design and implementation of a multi-section continuum robot: air-octor [C] // Proceedings of IEEE/RSJ International Conference on Intelligent Robots and Systems, 2005.
- [19] ROESTHUIS R J, MISRA S. Steering of multisegment continuum manipulators using rigid-link modeling and FBG-based shape sensing [J]. *IEEE Trans. Robot.*, 2016, 32(2):372–382.
- [20] RENDA F, GIORELLI M, CALISTI M, et al. Dynamic model of a multibending soft robot arm driven by cables [J]. *IEEE Trans. Robot.*, 2014, 30(5):1109–1122.
- [21] JUN S, DESAI J P. Towards a SMA-actuated neurosurgical intracerebral hemorrhage evacuation (NICHE) robot [C] // Proceedings of IEEE/RSJ International Conference on Intelligent Robots & Systems, 2015.
- [22] LASCHI C, CIANCHETTI M, MAZZOLAI B, et al. Soft robot arm inspired by the Octopus [J]. *Adv. Robot.*, 2012, 26(7):709–727.
- [23] WEBSTER R J, ROMANO J M, COWAN N J. Mechanics of precurved-tube continuum robots [J]. *IEEE Trans. Robot.*, 2009, 25(1):67–78.
- [24] GODAGE I S, WEBSTER R J, WALKER I D. Center-of-gravity-based approach for modeling dynamics of multisection continuum arms [J]. *IEEE Trans. Robot.*, 2019, 35(5):1097–1108.
- [25] LI J, XIAO J. Progressive planning of continuum grasping in cluttered space [J]. *IEEE Trans. Robot.*, 2016, 32(3):707–716.
- [26] XU K, SIMAAN N. Analytic formulation for kinematics, statics, and shape restoration of multibackbone continuum robots via elliptic integrals [J]. *J. Mech. Robot.*, 2010, 2(1):011006.
- [27] WU G, SHI G. Experimental statics calibration of a multi-constraint parallel continuum robot [J]. *Mech. Mach. Theory*, 2019, 136:72–85.
- [28] GAO G, WANG H, LIU J, et al. Statics analysis of an extensible continuum manipulator with large deflection [J]. *Mech. Mach. Theory*, 2019, 141:245–266.
- [29] LAKHA O, MELINGUI A, CHIBANI A, et al. Inverse kinematic modeling of a class of continuum bionic handling arm [C] // 2014 IEEE/ASME Int. Conf. Adv. Intell. Mechatron., Besacon, 2014.
- [30] GORISSEN B, REYNAERTS D, KONISHI S, et al. Elastic inflatable actuators for soft robotic applications [J]. *Adv. Mater.*, 2017, 29(43):1604977.
- [31] CAPPELLO L, GALLOWAY K C, SANAN S, et al. Exploiting textile mechanical anisotropy for fabric-based pneumatic actuators [J]. *Soft Robotics*, 2018, 5(5):662–674.
- [32] SHEN Y, DENG L, YUAN Y, et al. Kinematic control for crossed-fiber-reinforced soft manipulator using sparse bayesian learning [J]. *IEEE/ASME Trans. Mechatron.*, 2022, 27(2):611–622.
- [33] ZHOU P, YAO J, WEI C, et al. Design and kinematic of a dexterous bioinspired elephant trunk robot with variable diameter [J]. *Bioinspir. Biomim.*, 2022, 17(4):046016.
- [34] CHOI H R, JUNG K, RYEW S, et al. Biomimetic soft actuator: design, modeling, control, and applications [J]. *IEEE/ASME Trans. Mechatron.*, 2005, 10(5):581–593.
- [35] LI J, LIU L, LIU Y, et al. Dielectric elastomer spring-roll bending actuators: applications in soft robotics and design [J]. *Soft Robotics*, 2019, 6(1):69–81.
- [36] GUO Y, LIU L, LIU Y, et al. Review of dielectric elastomer actuators and their applications in soft robots [J]. *Advanced Intelligent Systems*, 2021, 3(10):2000282.
- [37] HE J, CHEN Z, XIAO Y, et al. Intrinsically anisotropic dielectric elastomer fiber actuators [J]. *ACS Materials Lett.*, 2022,

- 4(3):472–479.
- [38] PRECHTL J, KUNZE J, MORETTI G, et al. Modeling and experimental validation of thin, tightly rolled dielectric elastomer actuators[J]. *Smart Mater. Struct.*, 2022, 31(1):015008.
- [39] CHEN F Y, REN Z X, LAU G K. Maximal strengths of dielectric elastomer fingers for a passive grip[J]. *Smart Mater. Struct.*, 2022, 31(4):045014.
- [40] BOYVAT M, KOH J S, WOOD R J. Addressable wireless actuation for multijoint folding robots and devices[J]. *Science Robotics*, 2017, 2(8):1544.
- [41] YUK H, KIM D, LEE H, et al. Shape memory alloy-based small crawling robots inspired by *C. elegans*[J]. *Bioinspir. Biomim.*, 2011, 6(4):046002.
- [42] RODRIGUE H, WANG W, HAN M W. An overview of shape memory alloy-coupled actuators and robots[J]. *Soft Robotics*, 2017, 4(1):3–15.
- [43] SABELHAU A P, MEHTA R K, WERTZ A T. In-situ sensing and dynamics predictions for electrothermally-actuated soft robot limbs[J]. *Frontiers in Robotics and AI*, 2022, 9:888261.
- [44] KIM H I, HAN M W, SONG S H, et al. Soft morphing hand driven by SMA tendon wire[J]. *Composites Part B: Engineering*, 2016, 105:138–148.
- [45] YE T, WANG Y, XU S, et al. Modeling and motion control of an octopus-like flexible manipulator actuated by shape memory alloy wires[J]. *Journal of Intelligent Material Systems and Structures*, 2022, 33(1):3–16.
- [46] CHEN J, DING Q, KIM Y, et al. Design, modeling and evaluation of a millimeter-scale SMA bending actuator with variable length[J]. *Journal of Intelligent Material Systems and Structures*, 2022, 33(7):942–957.
- [47] MELLY S K, LIU L, LIU Y, et al. Active composites based on shape memory polymers: overview, fabrication methods, applications, and future prospects[J]. *J. Mater Sci.*, 2020, 55(25):10975–11051.
- [48] YANG G Z, BELLINGHAM J, DUPONT P E, et al. The grand challenges of science robotics[J]. *Science Robotics*, 2018, 3(14):7650.
- [49] CIANCHETTI M, LASCHI C, MENCIASSI A, et al. Biomedical applications of soft robotics[J]. *Nat. Rev. Mater.*, 2018, 3(6):143–153.
- [50] HU W, LUM G Z, MASTRANGELI M, et al. Small-scale soft-bodied robot with multimodal locomotion[J]. *Nature*, 2018, 554(7690):81–85.
- [51] KIM Y, YUK H, ZHAO R, et al. Printing ferromagnetic domains for untethered fast-transforming soft materials[J]. *Nature*, 2018, 558(7709):274–279.
- [52] ZHOU P, YAO J, ZHANG S, et al. A bioinspired fishbone continuum robot with rigid-flexible-soft coupling structure[J]. *Bioinspir. Biomim.*, 2022, 17(6):066012.
- [53] RONE W S, BENTZVI P. Continuum robot dynamics utilizing the principle of virtual power[J]. *IEEE Trans. Robot*, 2014, 30(1):275–287.
- [54] MAHL T, HILDEBRANDT A, SAWODNY O. A variable curvature continuum kinematics for kinematic control of the bionic handling assistant[J]. *IEEE Trans. Robot*, 2014, 30(1):935–949.
- [55] YUAN H, ZHOU L, XU W. A comprehensive static model of cable-driven multi-section continuum robots considering friction effect[J]. *Mechanism Mach. Theory*, 2019, 135:130–149.
- [56] VENKITESWARAN V K, SIKORSKI J, MISRA S. Shape and contact force estimation of continuum manipulators using pseudo rigid body models[J]. *Mechanism Mach. Theory*, 2019, 139:34–45.
- [57] GRAVAGNE I A, RAHN C D, WALKER I D. Large-deflection dynamics and control for planar continuum robots[J]. *IEEE/ASME Trans. Mechatron.*, 2003, 8(2):299–307.
- [58] GRAVAGNE I A. Design, analysis and experimentation: the fundamentals of continuum robotic manipulators[D]. Clemson: Clemson University, 2002.
- [59] GRAVAGNE I A, WALKER I D. Manipulability, force, and compliance analysis for planar continuum robots[J]. *IEEE Transactions on Robotics*, 2002, 18(3):263–273.
- [60] RUCKER D C, WEBSTER R J. Statics and dynamics of continuum robots with general tendon routing and external loading [J]. *IEEE Trans. Robot*, 2011, 27(6):1033–1044.
- [61] RUCKER D C, JONES B A, WEBSTER R J. A geometrically exact model for externally loaded concentric-tube continuum robots[J]. *IEEE Trans. Robot*, 2010, 26(5):769–780.